

**Esami di stato per l'abilitazione alla professione  
di Ingegnere - I sessione 1996  
Ingegneria Informatica**

*TEMA 2*

**CONTROLLO DI POSIZIONE DI UN BRACCIO MECCANICO**

Si consideri lo schema di Figura 1, che descrive un braccio meccanico di inerzia  $J_2$  e posizione angolare  $\theta$ , mosso da un motore elettrico a corrente continua tramite un riduttore ad ingranaggi di rapporto  $\tau$ , la cui rigidità torsionale è indicata con  $K_r$ . I coefficienti di attrito viscoso sono indicati con  $\beta_i$ ,  $i=1,2$ . Il motore sia alimentato da un alimentatore in grado di fornire al motore una corrente  $I(t)$  proporzionale alla tensione di comando  $V(t)$ . Sul braccio agisca una coppia resistente  $C_2$  e sull'albero motore agisca una coppia di attrito radente  $A_f$ .

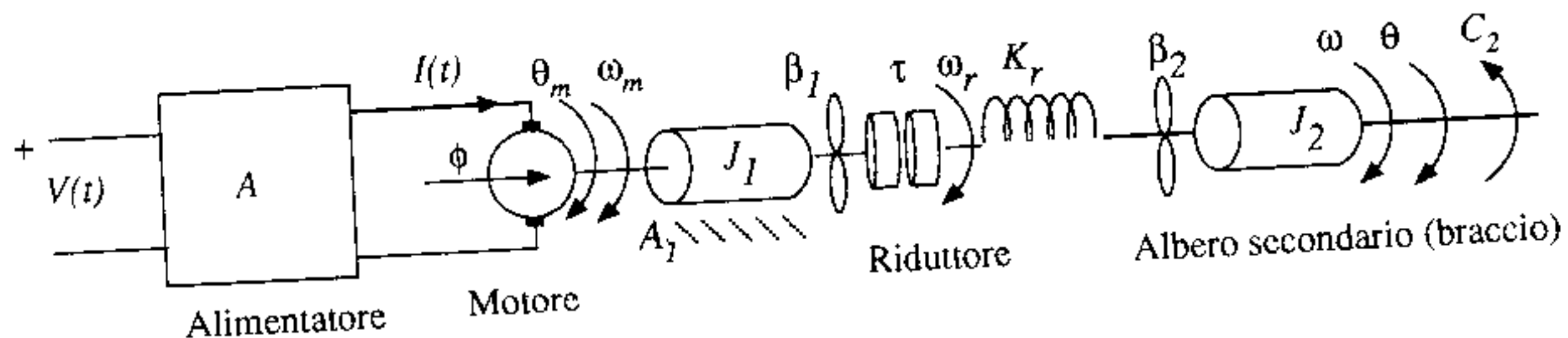


Figura 1 - Schema elettromeccanico

Il rapporto di riduzione  $\tau$  è definito come  $\tau = \omega_m / \omega_r$ ,  $\Phi$  indica il flusso motore o costante di coppia del motore a corrente continua e  $\theta_m$  indica la posizione angolare dell'albero motore.

## TEMI DA SVOLGERE

## ANALISI DINAMICA NEL TEMPO (tema comune)

- Si scrivano, a partire dagli schemi di Figura 1 e Figura 2, le equazioni di stato a tempo continuo in forma letterale e numerica, scegliendo con cura ingressi (comando e disturbi) e variabili di stato.
- Si calcolino, trascurando l'attrito radente e la coppia di gravità, gli autovalori dell'equazione di stato in forma approssimata, assumendo che gli autovalori siano separabili in due autovalori di bassa frequenza e in due autovalori di alta frequenza. Ad esempio, per calcolare gli autovalori di alta frequenza, si approssimi l'equazione degli autovalori nell'ipotesi che due radici siano di modulo elevato (lontane dall'origine). Si riporti per ciascun autovalore la formula approssimata e il valore numerico.

Dati numerici:  $J_2=20 \text{ kgm}^2$ ,  $J_1=0,0004 \text{ kgm}^2$ ,  $l=1\text{m}$ ,  $M=4\text{kg}$ ,  $\tau=250$ ,  $K_f=150000 \text{ Nm}$ ,  $\phi=0,2 \text{ Vs}$ ,  $\beta_1=0,002 \text{ Nms}$ ,  $\beta_2=0$ ,  $A=1\text{A/V}$ .

## DIMENSIONAMENTO DI MASSIMA DEL CONTROLLO

## Tema 1 - CONTROLLO DIGITALE

## Specifiche

Si consideri un braccio meccanico come in Figura 2.

Le caratteristiche geometriche siano:

- utensile di massa  $M \leq 4\text{Kg}$
- braccio e suo contrappeso con momento d'inerzia complessivo pari a  $J_b=20\text{Kgm}^2$
- braccio di lunghezza  $l=1\text{m}$

I requisiti di movimentazione del braccio siano:

- Il braccio ruoti nel piano verticale.
- Il movimento sia del tipo punto-punto e soddisfi i seguenti vincoli cinematici, che limitano le traiettorie di riferimento: limite di velocità del braccio  $\bar{\omega}=1 \text{ rad/s}$ , limite di accelerazione del braccio  $\bar{\alpha}=3 \text{ rad/s}^2$ , limiti di posizione angolare  $\theta = \pm \pi$ .
- Precisione della posizione angolare  $\theta$ : in posizione (braccio nominalmente fermo)  $\epsilon \leq 1\text{mrad}$ , in movimento  $\epsilon_m \leq 20\text{mrad}$ .
- Requisiti dinamici: tempo di assestamento  $\tau_s \leq 0,5\text{s}$ .
- Misura: trasduttore digitale di posizione montato sull'albero secondario (solidale al braccio)

## Dimensionamento

Si dimensioni un sistema di controllo digitale che soddisfi le specifiche precedenti. Ogni scelta deve essere chiaramente giustificata.

- Si scelga da catalogo (allegato) il motorriduttore e se ne riportino i dati suddivisi in: dati necessari per i parametri dell'equazione di stato precedente e dati necessari per costruire un simulatore numerico. Si stabilisca, da catalogo, la coppia limite del riduttore. Si stabiliscano, da catalogo, i limiti minimo e massimo del coefficiente di attrito viscoso e della coppia di attrito radente; quali di questi valori devono essere usati nel simulatore numerico? Si scelga un gioco del riduttore compatibile con le specifiche di precisione.

2. Si scelga da catalogo (allegato) il motore elettrico e se ne riportino i dati suddivisi in: dati necessari per i parametri dell'equazione di stato precedente e dati necessari per costruire un simulatore numerico. Si stabilisca la corrente massima del motore in movimento e in posizione.
3. Si scelga la frequenza di campionamento  $f$  e in base ad essa la banda passante limite  $P_a$  dell'alimentatore; nella scelta di  $f$  si tenga presente che la vibrazione fondamentale del gruppo motore-riduttore-braccio è incerta al 10% e accompagnata da armoniche (fino alla quarta). Si scelga la risoluzione  $\rho$  [rad] del trasduttore di posizione angolare e il suo numero  $m$  di cifre binarie. Data la corrente massima del motore, si stabilisca la risoluzione  $\rho_s$  del comando e il suo numero  $n$  di cifre binarie.
4. Si impostino le equazioni di stato discrete con cui progettare il controllo; si ponga cura nella descrizione dei disturbi. Se ne tracci lo schema a blocchi con i valori numerici dei guadagni.
5. Si progetti l'*osservatore degli stati*; si scrivano le equazioni di stato relative e se ne tracci lo schema a blocchi, indicandone chiaramente gli ingressi e le uscite. Si operi una scelta numerica degli autovalori, tenendo presente l'incertezza sul valore della vibrazione fondamentale; si spieghino gli effetti di una diminuzione o aumento del modulo di tali autovalori. Sulla base di tale scelta si calcolino i guadagni dell'osservatore e si verifichi se il tempo di assestamento è rispettato.
6. Si progetti il *generatore dei riferimenti* come un controllo ottimo ad anello chiuso non lineare (bang-bang); le sue uscite siano le traiettorie desiderate della posizione e della velocità del braccio e la corrente ad anello aperto del motore. Se ne tracci lo schema a blocchi e il diagramma di flusso (*flowchart*) della retroazione di tipo *bang-bang*. Tale retroazione deve essere descritta mediante un automa a stati finiti con tre stati: posizione, movimento (accelerazione o folle) e frenata. Si tracci su carta millimetrata l'andamento a tempo continuo delle uscite del generatore per un movimento punto-punto da  $\theta(0)=0$  a  $\theta=\pi$ .
7. Si progetti il *controllo ad anello chiuso* e se ne tracci lo schema a blocchi, ponendo in evidenza i suoi ingressi e le sue uscite. Si operi una scelta numerica dei suoi guadagni e si spieghino gli effetti di una loro diminuzione o aumento.
8. Sulla base del dimensionamento di massima eseguito, si traccino su carta millimetrata gli andamenti qualitativi delle seguenti traiettorie: traiettoria desiderata di posizione (per il movimento del punto 6), posizione effettiva del braccio ( $\theta$ ) e stima di posizione calcolata dall'osservatore. In alternativa si possono tracciare l'errore di stima (misura - stima) e l'errore tra riferimento e stima.
9. (opzionale) Si progetti l'alimentatore del motore (digitale o analogico), sulla base dei seguenti dati: induttanza complessiva (motore e alimentatore):  $L=ImH$ , tensione massima di comando dell'alimentatore:  $V_a=12V$  (essa stabilisce, tramite la corrente massima del motore, la resistenza di misura). Si calcoli la tensione massima che l'alimentatore deve fornire al motore, e si verifichi se sia compatibile con la tensione nominale del motore.

#### Allegati

1. n. 2 fogli di carta millimetrata
2. Catalogo di riduttori armonici (5 fogli)
3. Catalogo di motori elettrici a corrente continua (2 fogli)

b TBMAB

# Tabelle normalizzate dei valori per i riduttori HARMONIC DRIVE

Velocità primaria giri/min 3500				2850		1750		1450		1150		
Rapporto di riduzione	Potenza d'ingresso CV	Potenza d'uscita CV	Velocità Coppia d'uscita giri/min Nm	Potenza d'ingresso CV	Potenza d'uscita CV	Velocità Coppia d'uscita giri/min Nm	Potenza d'ingresso CV	Potenza d'uscita CV	Velocità Coppia d'uscita giri/min Nm	Potenza d'ingresso CV	Velocità Coppia d'uscita giri/min Nm	
14	88	0.07	0.05	39.8	10	0.06	0.04	32.4	10	0.03	0.02	
	110	0.06	0.04	31.8	10	0.05	0.04	25.9	10	0.03	0.02	
20	80	0.21	0.15	43.8	30	0.18	0.13	35.6	31	0.11	0.08	
	96*	0.20	0.15	36.5	31	0.16	0.12	29.7	32	0.11	0.08	
	128	0.15	0.11	27.3	32	0.14	0.10	22.3	35	0.10	0.07	
	160	0.13	0.10	21.9	33	0.12	0.09	17.8	36	0.09	0.07	
25	80	0.34	0.25	43.8	47	0.30	0.22	35.6	51	0.21	0.15	
	100	0.29	0.21	35.0	50	0.27	0.20	28.5	54	0.20	0.15	
	120	0.27	0.20	29.2	53	0.24	0.18	23.8	56	0.18	0.13	
	160	0.22	0.16	21.9	55	0.19	0.14	17.8	58	0.14	0.10	
	200	0.19	0.14	17.5	56	0.17	0.13	14.3	60	0.12	0.09	
	32	0.75	0.55	44.9	103	0.67	0.49	36.5	109	0.41	0.30	
32	104*	0.65	0.48	33.7	114	0.56	0.41	27.4	119	0.42	0.31	
	131	0.53	0.39	26.5	114	0.48	0.35	21.6	124	0.33	0.24	
	157	0.46	0.34	22.2	114	0.43	0.32	18.0	125	0.29	0.21	
	208*	0.37	0.27	16.8	114	0.34	0.25	13.7	125	0.24	0.18	
	260	0.31	0.23	13.5	114	0.29	0.21	11.0	125	0.20	0.15	
	40	80	1.40	1.03	43.8	196	1.17	0.86	35.6	196	0.70	0.51
40	96*	1.47	1.08	36.5	241	1.29	0.95	29.7	254	0.81	0.60	
	128	1.15	0.85	27.3	241	1.01	0.74	22.3	254	0.72	0.53	
	160	0.96	0.71	21.9	241	0.85	0.63	17.8	254	0.60	0.44	
	194*	0.82	0.60	18.0	241	0.73	0.54	14.7	254	0.51	0.38	
	258	0.67	0.49	13.6	241	0.59	0.43	11.1	254	0.42	0.31	
	50	80	2.6	1.91	43.8	357	2.1	1.54	35.6	357	1.27	0.93
50	100	2.6	1.91	35.0	447	2.3	1.69	28.5	476	1.65	1.21	
	120	2.3	1.69	29.2	447	2.0	1.47	23.8	476	1.42	1.04	
	160	1.8	1.32	21.9	447	1.6	1.18	17.8	476	1.12	0.82	
	200	1.5	1.10	17.5	447	1.3	0.96	14.3	476	0.94	0.69	
	242	1.3	0.96	14.5	447	1.2	0.88	11.8	476	0.83	0.61	
	65	78	5.7	4.19	44.9	780*	4.7	3.46	36.5	780*	2.9	2.13
65	104	4.7	3.46	33.7	832*	4.2	3.09	27.4	883*	3.0	2.21	
	132	3.9	2.87	26.5	832*	3.2	2.35	21.6	883*	2.4	1.77	
	158	3.4	2.50	22.2	832*	3.0	2.21	18.0	883*	2.1	1.54	
	208	2.7	1.99	16.8	832*	2.4	1.77	13.3	1050	1.9	1.40	
	260	2.3	1.69	13.5	832*	2.0	1.77	13.7	883*	1.7	1.25	
	80	80	8.3	6.10	35.6	1400*	5.0	3.68	21.9	1400	4.1	3.02
100	96		8.9	6.55	29.7	1760*	5.6	4.12	18.2	1840	4.7	3.46
	128		7.0	5.15	22.3	1760*	5.0	3.68	13.7	2080	4.4	3.24
	160		5.8	4.27	17.8	1760*	4.1	3.02	10.9	2080	3.7	2.72
	194		5.0	3.68	14.7	1760*	3.5	2.57	9.0	2080	3.2	2.35
	258		4.1	3.02	11.1	1760*	2.9	2.13	6.8	2080	2.6	1.99
	320		3.4	2.50	8.9	1760*	2.4	1.77	5.5	2080	2.2	1.62
100	80	Nota:				8.9	6.55	21.9	2520	7.5	5.52	
	100	*) I valori con asterisco non sono applicabili che in condizioni particolari di lavoro e di lubrificazione.				11.1	8.16	17.5	3800	9.4	6.91	
	120					9.7	7.13	14.6	3820	8.5	6.25	
	160					7.6	5.59	10.9	3820	6.8	5.00	
	200					6.4	4.71	8.8	3820	5.7	4.19	
	242					5.6	4.12	7.2	3820	5.0	3.68	
100	320	Vi preghiamo di consultarci.				4.5	3.31	5.5	3820	4.0	2.94	

Questi rapporti di riduzione verranno unificati in:  
*i = 100 e i = 200.*

Vi preghiamo di consultarci.

## Sovraccarichi

Per i valori indicati in tabella, basati su velocità d'ingresso di 1450 giri/min, sono ammessi sovraccarichi anche del 100% per la durata di 1-2 secondi e per 4-5 volte in un'ora, senza danneggiare la vita del riduttore.  
 In caso di sovraccarichi continui, dovuti per esempio ad accelerazioni e frenate consecutive, il riduttore deve essere selezionato in modo che la coppia massima di picco si avvicini alla coppia nominale del riduttore (vedi tabella).

Si può applicare continuativamente una coppia superiore; questo ha però una influenza negativa sulla durata del riduttore, che dipende principalmente dalla velocità d'ingresso e dal carico.  
 Il riduttore HARMONIC DRIVE possono avere una vita anche superiore alle 40.000 ore di lavoro.

Per velocità d'ingresso inferiori ai 500 giri/m occorre applicare i valori della colonna dei 500 giri.

I valori della tabella soprastante sono basati sul seguente tipo di montaggio:  
 Circular Spline: fisso  
 Wave Generator: ingresso  
 Flex spline: uscita

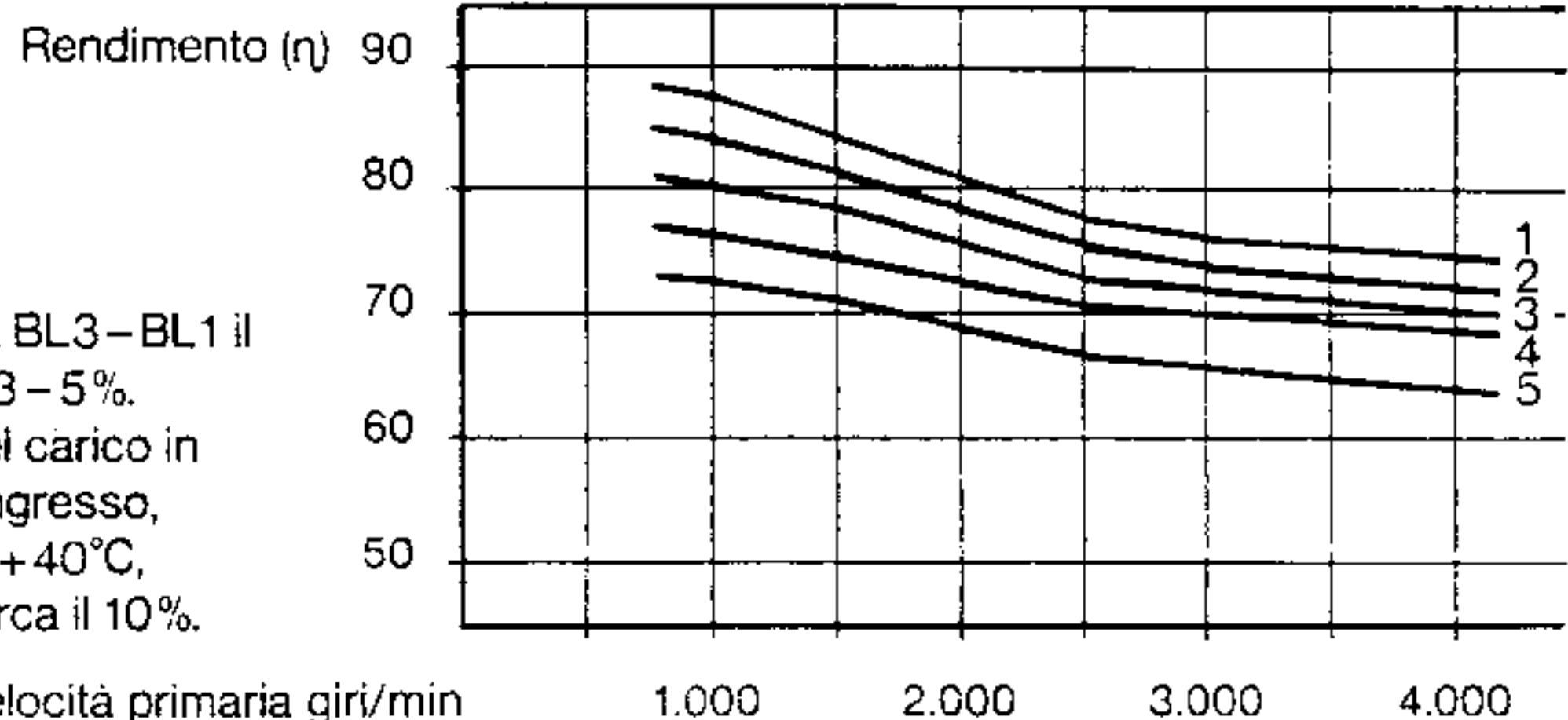
# Applicabili ai riduttori HDUC ad elementi componibili ed ai riduttori completi sotto carter

960				870				750				600				500					
cota Coppia min Nm	Potenza d'ingresso CV kW	Velocità Coppia d'uscita d'uscita giri/min Nm	Coppia d'uscita d'uscita giri/min Nm	Potenza d'ingresso CV kW	Velocità Coppia d'uscita d'uscita giri/min Nm	Coppia d'uscita d'uscita giri/min Nm	Potenza d'ingresso CV kW	Velocità Coppia d'uscita d'uscita giri/min Nm	Coppia d'uscita d'uscita giri/min Nm	Potenza d'ingresso CV kW	Velocità Coppia d'uscita d'uscita giri/min Nm	Coppia d'uscita d'uscita giri/min Nm	Potenza d'ingresso CV kW	Velocità Coppia d'uscita d'uscita giri/min Nm	Coppia d'uscita d'uscita giri/min Nm						
10	0.02	0.01	10.9	10	0.02	0.01	9.9	10	0.01	0.007	8.5	10	0.01	0.007	6.8	10	0.01	0.007	5.7	10	
15	0.02	0.01	8.7	10	0.01	0.007	7.9	10	0.01	0.007	6.8	10	0.01	0.007	5.5	10	0.01	0.007	4.5	10	
20	0.06	0.04	12.0	31	0.06	0.04	10.9	31	0.05	0.04	9.4	31	0.04	0.03	7.5	31	0.03	0.02	6.2	31	
25	0.06	0.04	10.0	37	0.06	0.04	9.1	37	0.05	0.04	7.8	37	0.04	0.03	6.3	37	0.03	0.02	5.2	37	
30	0.06	0.04	7.5	44	0.05	0.04	6.8	44	0.04	0.03	5.9	44	0.04	0.03	4.7	44	0.03	0.02	3.9	44	
35	0.06	0.04	6.0	50	0.05	0.04	5.4	50	0.04	0.03	4.7	50	0.03	0.02	3.8	50	0.03	0.02	3.1	50	
40	0.12	0.09	12.0	58	0.10	0.07	10.9	58	0.09	0.07	9.4	58	0.07	0.05	7.5	58	0.06	0.04	6.2	58	
45	0.13	0.10	9.6	81	0.12	0.09	8.7	81	0.10	0.07	7.5	81	0.08	0.06	6.0	81	0.07	0.05	5.0	81	
50	0.12	0.09	8.0	84	0.11	0.08	7.3	90	0.10	0.07	6.2	93	0.08	0.06	5.0	98	0.07	0.05	4.2	98	
55	0.10	0.07	6.0	85	0.10	0.07	5.4	90	0.08	0.06	4.7	94	0.07	0.05	3.8	104	0.06	0.04	3.1	108	
60	0.08	0.06	4.8	86	0.08	0.06	4.4	90	0.07	0.05	3.8	94	0.06	0.04	3.0	104	0.05	0.04	2.5	108	
65	0.23	0.17	12.3	112	0.20	0.15	11.2	112	0.17	0.13	9.6	112	0.14	0.10	7.7	112	0.11	0.08	6.4	112	
70	165	0.25	0.18	9.2	161	0.23	0.17	8.4	161	0.19	0.14	7.2	161	0.15	0.11	5.8	161	0.13	0.10	4.8	161
75	165	0.23	0.17	7.3	181	0.21	0.15	6.6	181	0.19	0.14	5.7	199	0.16	0.12	4.5	207	0.13	0.10	3.8	207
80	165	0.21	0.15	6.1	181	0.18	0.13	5.5	181	0.17	0.13	4.8	199	0.14	0.10	3.8	208	0.13	0.10	3.2	224
85	165	0.16	0.12	4.6	181	0.15	0.11	4.2	181	0.14	0.10	3.6	199	0.11	0.08	2.9	208	0.10	0.07	2.4	224
90	196	0.14	0.10	3.7	181	0.13	0.10	3.4	181	0.11	0.08	2.9	199	0.10	0.07	2.3	208	0.09	0.07	1.9	224
95	265	0.39	0.29	12.0	196	0.35	0.26	10.9	196	0.29	0.21	9.4	196	0.23	0.17	7.5	196	0.19	0.14	6.2	196
100	345	0.45	0.33	10.0	265	0.40	0.29	9.1	265	0.34	0.25	7.8	265	0.27	0.20	6.3	265	0.22	0.16	5.2	265
105	345	0.49	0.36	7.5	366	0.45	0.33	6.8	378	0.38	0.28	5.9	380	0.30	0.22	4.7	380	0.25	0.18	3.9	380
110	345	0.41	0.30	6.0	366	0.38	0.28	5.4	378	0.34	0.25	4.7	403	0.29	0.21	3.8	433	0.26	0.19	3.1	461
115	345	0.35	0.26	4.9	366	0.32	0.24	4.5	378	0.29	0.21	3.9	403	0.25	0.18	3.1	433	0.22	0.16	2.6	461
120	357	0.28	0.21	3.7	366	0.26	0.19	3.4	378	0.23	0.17	2.9	403	0.20	0.15	2.3	433	0.18	0.13	1.9	461
125	565	0.7	0.51	12.0	357	0.64	0.47	10.9	357	0.5	0.37	9.4	357	0.43	0.32	7.5	357	0.35	0.26	6.2	357
130	646	0.9	0.66	9.6	565	0.83	0.61	8.7	565	0.7	0.51	7.5	565	0.55	0.40	6.0	565	0.46	0.34	5.0	565
135	646	1.0	0.74	8.0	680	0.86	0.63	7.3	680	0.7	0.51	6.2	680	0.57	0.42	5.0	680	0.48	0.35	4.2	680
140	646	0.8	0.59	6.0	686	0.71	0.52	5.4	709	0.6	0.44	4.7	756	0.54	0.40	3.8	812	0.48	0.35	3.1	864
145	646	0.6	0.44	4.8	686	0.59	0.43	4.4	709	0.5	0.37	3.8	756	0.45	0.33	3.0	812	0.40	0.29	2.5	864
150	780	0.6	0.44	4.0	686	0.52	0.38	3.6	709	0.5	0.37	3.1	756	0.40	0.29	2.5	812	0.35	0.26	2.0	864
155	1200	1.6	1.18	12.3	780	1.4	1.03	11.2	780	1.2	0.88	9.6	780	0.9	0.66	7.7	780	0.8	0.59	6.4	780
160	1200	1.9	1.40	9.2	1210	1.7	1.25	8.4	1210	1.4	1.03	7.2	1210	1.2	0.88	5.8	1210	1.0	0.74	4.8	1210
165	1200	1.7	1.25	7.3	1280	1.5	1.10	6.6	1320	1.4	1.02	5.7	1410	1.2	0.88	4.5	1490	1.0	0.74	3.8	1600
170	1200	1.5	1.10	6.1	1280	1.3	0.96	5.5	1320	1.2	0.88	4.8	1410	1.0	0.74	3.8	1490	0.9	0.66	3.2	1600
175	1200	1.2	0.88	4.6	1280	1.1	0.81	4.2	1320	1.0	0.74	3.6	1410	0.8	0.59	2.9	1490	0.7	0.51	2.4	1600
180	1400	1.0	0.74	3.7	1280	1.0	0.74	3.4	1320	0.8	0.59	2.9	1410	0.7	0.51</						

# Rendimento

Questo grafico ci dà il rendimento in percento col 100% del carico, in funzione di differenti velocità d'ingresso, a seconda del rapporto di riduzione  $i$ .

- 1 =  $i$  80, 9t
- 2 =  $i$  128
- 3 =  $i$  160
- 4 =  $i$  194
- 5 =  $i$  258



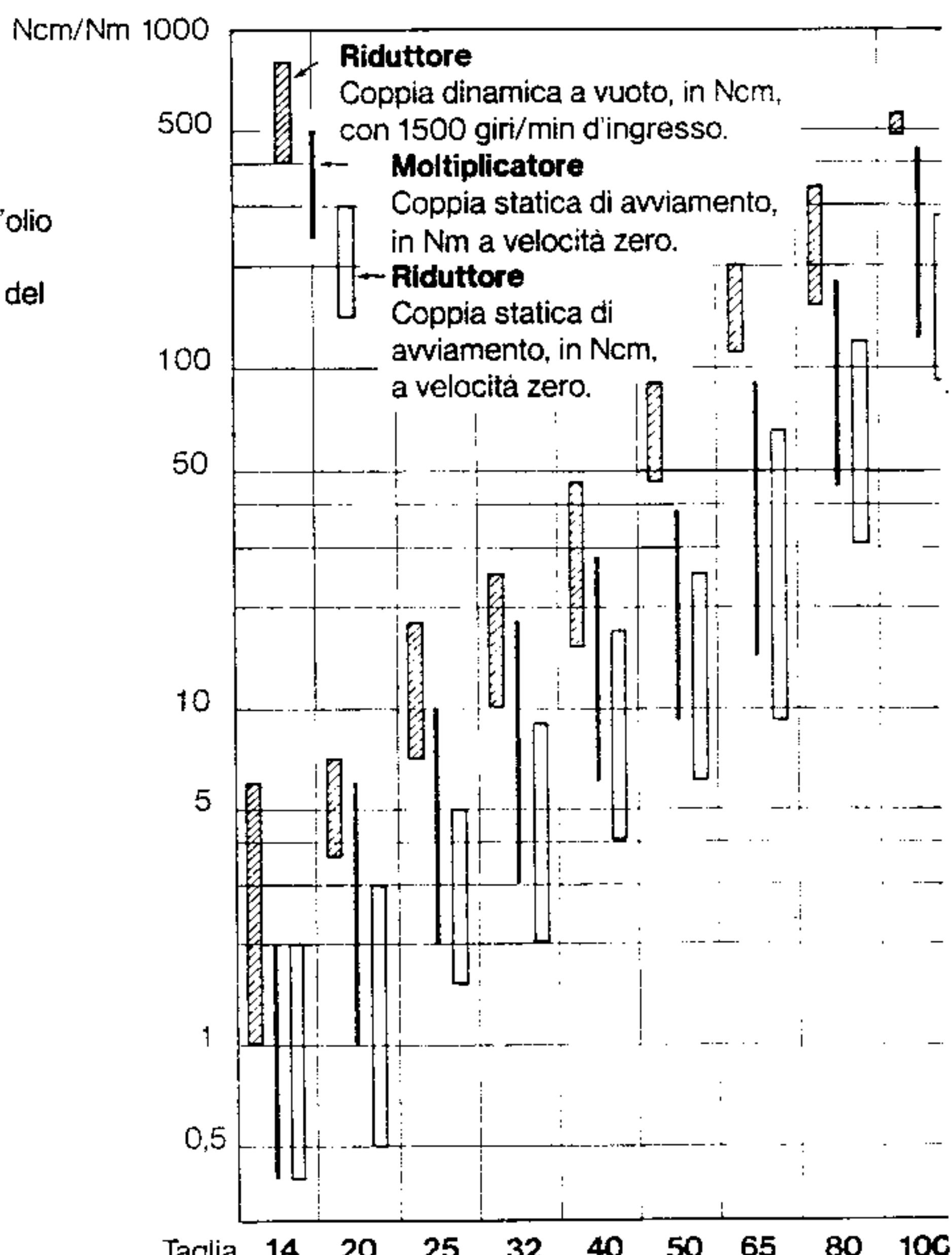
**Note:**

- Nell'esecuzione precisa BL3-BL1 il rendimento scende di un 3 – 5 %.
- Se si lavora col 50% del carico in uscita, a 1500 giri/min d'ingresso, e con l'olio a temperatura +40°C, il rendimento scende di circa il 10%.

I riduttori HARMONIC DRIVE non sono auto-frenanti.

# Copie di spunto

I valori indicati sono validi con l'olio alla temperatura di 40°C.  
La coppia cresce col crescere del rapporto di riduzione.

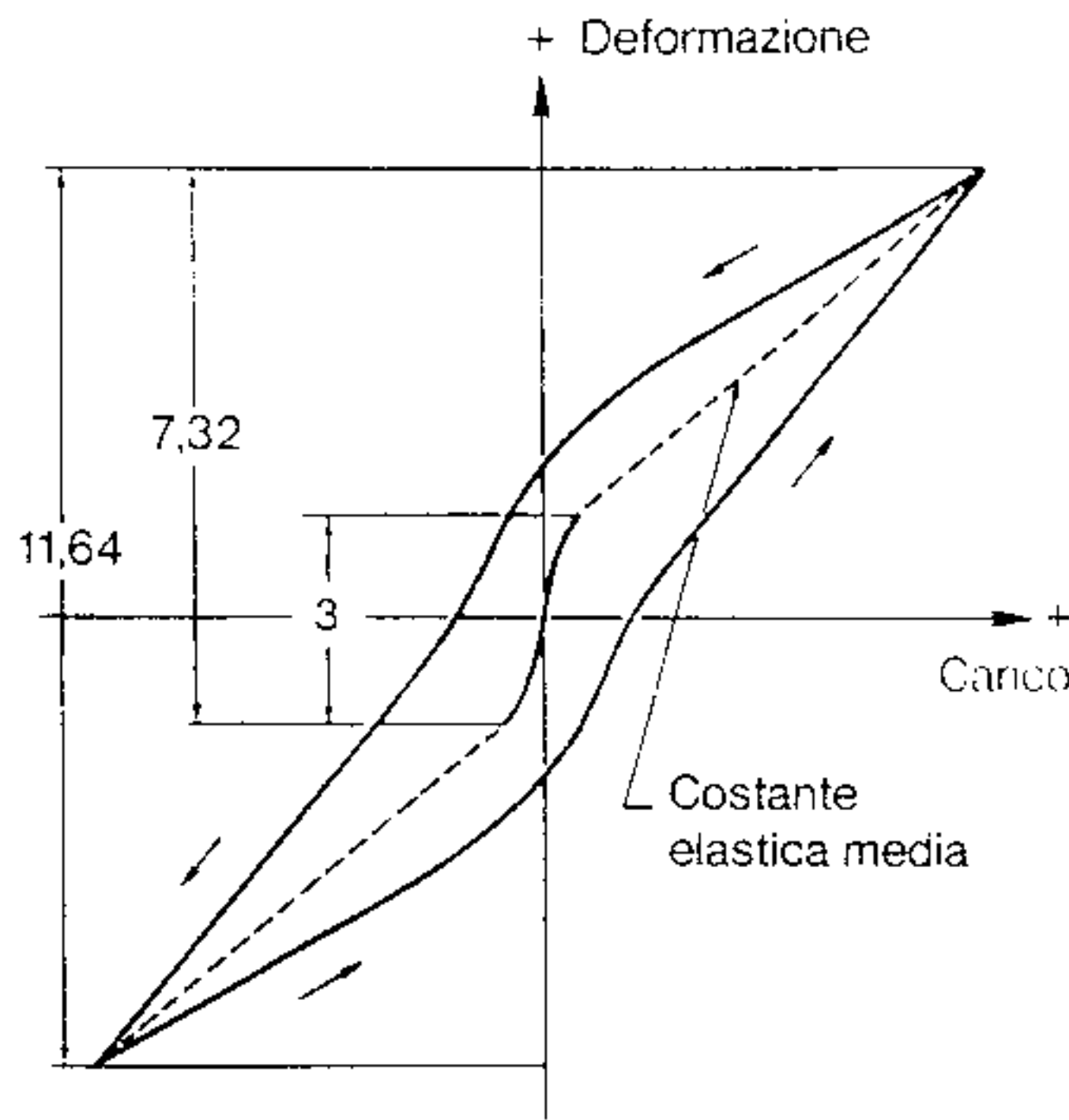


# Gioco angolare e rigidità torsionale

## Gioco angolare

Sia il gioco, sia la rigidità torsionale sono costanti nell'ambito di ciascuna taglia di riduttore, e indipendenti dal rapporto di riduzione, dalla coppia trasmessa, velocità di rotazione, temperatura e tipo di lubrificazione. I valori indicati nella sottostante tabella sono calcolati sull'uscita, ad albero di ingresso bloccato. Nei riduttori HARMONIC DRIVE non esiste soltanto il gioco dei fianchi dei denti, ma si deve tenere conto di altri fattori determinanti, come il gioco del cuscinetto del Wave Generator e il gioco tra anello esterno del cuscinetto del Wave Generator e il Flexpline. Diminuendo il gioco dei fianchi dei denti e quello del cuscinetto del Wave Generator, il gioco nominale **sull'uscita**, che nei riduttori HDUC standard o semplificati è di 9 minuti d'arco, può essere ridotto a circa 3 minuti d'arco (esecuzione BL3) o addirittura a 1 minuto d'arco (esecuzione BL1).

Queste versioni richiedono una lavorazione accuratissima e di alta precisione, per cui sono considerate esecuzioni speciali.



## Costante elastica del Flexpline

Il diagramma soprastrante mostra la tipica curva di costante elastica dei riduttori HARMONIC DRIVE ad elementi componibili, ad albero d'entrata bloccato.

I numeri qui sotto riportati indicano i valori medi di costante elastica, con tolleranza  $\pm 10\%$ .

HDUC	Carico* ± Nm	Gioco totale sull'uscita in minuti d'arco, con albero d'entrata bloccato (senza valori della costante elastica)			Costante elastica media del Flexpline Nm/ Radiante
		Riduttore standard	Esecuzione »BL3«	Esecuzione »BL1«	
14	0.39	9.0	3.0	-	3370
20	1.18	9.0	3.0	1.0	23900 (20900)
25	2.25	9.0	3.0	1.0	37350 (34530)
32	4.50	9.0	3.0	1.0	81870 (82360)
40	9.00	9.0	3.0	1.0	142000
50	16.95	9.0	3.0	1.0	298800
65	38.22	9.0	3.0	1.0	585160
80	72.52	9.0	3.0	1.0	1138800
100	141.12	9.0	3.0	1.0	2112900

\*) Sino a questo carico d'uscita, fa effetto unicamente il gioco nominale del riduttore. A carico d'uscita maggiore, si deve aggiungere il corrispondente valore di costante elastica del Flexpline (vedasi esempio sottostante).

## Esempio

HDUC 20-160-2ABL3.

Con carico in uscita di 30 Nm.

Gioco: 3 minuti d'arco

$$\text{Rigidità} = \frac{57,29578 \cdot 30 \cdot 60}{23.900} = 4,32 \text{ minuti d'arco}$$

$$\text{Gioco + rigidità} = 3 + 4,32 = 7,32$$

Con servizio reversibile (2 sensi di rotazione):

$$100 \cdot 11,64 \text{ minuti d'arco.}$$

In parentesi i valori per l'esecuzione semplificata.

$$1 \text{ radiante} = \frac{180^\circ}{\pi} = 57,29578 \text{ gradi}$$

$$1 \text{ grado} = 60 \text{ minuti d'arco}$$

## Momento d'inerzia ( $J^*$ ) del Wave Generator in $\text{kgm}^2$

Il valore del momento d'inerzia dipende da tutti gli elementi, tranne l'anello esterno del cuscinetto del Wave Generator. Non si può ridurre il momento d'inerzia se non in termini molto limitati e tenendo conto che asportare troppo materiale può ridurre la robustezza del mozzo del Wave Generator.

L'esperienza ci ha dimostrato che la riduzione del momento di inerzia non può superare il 10%.

Taglia	Riduttore HDUC ad elementi componibili
14	$3,30 \cdot 10^{-5}$
20	$2,05 \cdot 10^{-3}$
25	$6,08 \cdot 10^{-4}$
32	$1,94 \cdot 10^{-4}$
40	$5,30 \cdot 10^{-4}$
50	$1,50 \cdot 10^{-3}$
65	$5,93 \cdot 10^{-3}$
80	$1,59 \cdot 10^{-2}$
100	$4,65 \cdot 10^{-2}$

$* J = \frac{GD^2}{4}$

## Velocità massima d'ingresso

La velocità massima non si può raggiungere che in ben determinate condizioni. Il carico d'uscita non può superare il 50 % di quello indicato nella tabella a pag. 1.02 per la velocità di 1450 giri/min. La velocità massima può essere utilizzata solo in caso di servizio intermittente, con rapporto 1:20 tra le punte di velocità.

Vogliate comunque consultarci prima di realizzare un'applicazione di questo tipo.

Taglia	Giri/min
14	3.600
20	10.000
25	7.500
32	7.000
40	5.600
50	4.500
65	3.500
80	3.500
100	2.500

## Riduttori per carichi leggeri

Per applicazioni con carichi molto leggeri e senza inversioni di marcia, i riduttori HARMONIC DRIVE della serie HDUC dalla taglia 14 fino alla 32 possono essere forniti in esecuzione semplificata. In questa esecuzione il Flexsplined è in acciaio inossidabile col fondo saldato, mentre nella serie HDUC standard, tipo A, il Flexsplined è in acciaio speciale al nickel/cromo ed in un pezzo unico.

Al momento dell'ordine di un riduttore in esecuzione semplificata, il suffisso "A" **non** viene indicato.

## Senso di montaggio

Se si seguono le norme per la lubrificazione, i riduttori HARMONIC DRIVE possono venire montati in tutti i sensi.

\*\*) Tachymétrable sur demande.

2) Courant à quelques tours/min.

d'alimentation qui a la protection IP 00.

\*\*\*\*) Moteur refroidi par une ventilation extérieure de 80 l/s.

b) Pour 10.000 h à 3000 tr/min

c) Exécution fermée.

d) Exécution ouverte avec prise de ventilation

TEMA 3

\* Motor must be cooled by an external fan minimum 10 l/s under 13 mm H<sub>2</sub>O.

1) Cycle S3 - 50 ms - 1%

a) IP 44/IP 00 means motor is protection IP 44, but terminals are IP 00.

\*\*) Integral tachometer can be mounted.

2) Very low speed

b) For life time 10.000 hours at 3000 r.p.m.

\*\*\*\*) Motor must be cooled by an external fan minimum 80 l/s.

c) Uncooled execution.

d) Cooled execution.

Self induction du rotor	couple de friction sec	Constante de temps mécanique	Charge maximale admissible sur l'arbre b)	Aments	Coefficient de tempéra- ture des avants	Caractéristiques thermiques		Protection a)	Masse		Type de servomote		
						Constantes de temps thermique 2)	Résistance thermique 2)						
L	T <sub>F</sub>	T	RADIALE SEULE	AXIALE SEULE	—	—	T <sub>ca</sub>	T <sub>ca</sub>	R <sub>dc</sub>	R <sub>ca</sub>	—	—	Symbol
μN	N cm	mm	N	N	—	N/C	s	s	°C/W	°C/W	—	■	Unité
Self induction du rotor	Friction torque (static)	Mechanical time constant	Maximum permissible shaft load b)	Permanent magnet	Magnetic temperature coefficient	Thermal characteristics		Protection a)	Weight		Motor Type		
l	T <sub>F</sub>	T	RADIAL ONLY	AXIAL ONLY	—	—	T <sub>dc</sub>	T <sub>ca</sub>	R <sub>dc</sub>	R <sub>ca</sub>			
μN	N	mm	N	N	—	N/C	s	s	°C/W	°C/W	—	■	Unit
< 100	2,5	39,6	120	110	1 S 8	0,02	72,5	1865	1,208	0,746	IP44/IP00	1,1	F 9 M 4 R**
< 25	2,5	13,2	200	150	2 S 8	0,02	30	1054	1,125	0,878	IP44/IP00	2,3	F 9 M 2 **
< 100	2,5	10,2	200	150	2 S 8	0,02	30	1054	1,125	0,878	IP44/IP00	2,3	F 9 M 4 **
< 100	2,5	4,5	200	40	2 S 8	0,02	30	1054	1,125	0,878	IP44/IP00	2,3	F 9 M 4 H**
< 25	2,5	4,1	200	40	2 S 8	0,02	30	1054	1,125	0,878	IP44/IP00	2,8	F 9 M 2 HA**
< 100	3	37,6	120	110	1 S 8	0,02	59	1820	0,678	0,608	IP44/IP00	1,9	F 12 M 4 R**
< 25	3	14	220	150	2 S 8	0,02	52	1630	0,952	0,880	IP44/IP00	3,85	F 12 M 2 **
< 100	3	10	220	150	2 S 8	0,02	52	1630	0,952	0,680	IP44/IP00	3,85	F 12 M 4 **
< 100	3	4,7	220	150	2 S 8	0,02	52	1630	0,952	0,680	IP44/IP00	5,00	F 12 M 4 H**
< 100	3	3	220	150	2 S 8	0,02	52	1630	0,952	0,680	IP44/IP00	5,00	F 12 M 4 HA*
30	2,6	12	300	330	2 S 10	0,02	102	1940	0,818	0,746	IP44	4	MC 13 S
< 80	6	8,2	450	330	2 S 10	0,02	108	2725	0,72	0,849	IP44	8,5	MD 15 HS
< 100	8	10	450	330	2 S 10	0,02	168	3040	0,601	0,563	IP44	7,5	MD 17 CS
< 100	6	7,2	450	330	2 S 10	0,02	168	3040	0,601	0,563	IP44	6,5	MD 17 HS
< 200	9	17,2	600	600	2 S 10	0,02	147	2440	0,588	0,610	IP44	6,5	MC 17 H **
< 100	12	40	600	600	2 S 10	0,02	96	2930	0,724	0,611	IP44	6,5	MC 17 B **
< 100	10	7,4	600	600	2 S 10	0,02	64	3020	0,478	0,457	IP44	9,7	MC 19 P**
< 100	10	7,4	600	600	2 S 10	0,02	47	900	0,304	0,070	IP20	9,7	MC 19 P** (*)
< 400	10	6,5	600	600	2 S 10	0,02	84	3020	0,478	0,457	IP44	9,7	MC 19 S**
< 400	10	6,5	600	600	2 S 10	0,02	47	900	0,304	0,070	IP20	9,7	MC 19 S** (*)
< 3	11	11	600	600	2 S 10	0,02	64	3020	0,478	0,457	IP44	9,7	MC 19 B**
< 250	12	8	750	800	2 S 10	0,02	87	4250	0,437	0,283	IP44	17	MC 23 S**
< 250	12	8	750	800	2 S 10	0,02	32	1200	0,215	0,066	IP20	17	MC 23 S** (*)
< 100	15	5,1	750	800	2 S 10	0,02	90	5540	0,360	0,277	IP44	23	MC 24 P**
< 100	15	5,1	750	800	2 S 10	0,02	46	1800	0,200	0,060	IP20	23	MC 24 P** (*)
< 100	20	6	900	500	2 S 10	0,02	158	4176	0,244	0,261	IP44	35	MC 27**
< 100	20	6	900	500	2 S 10	0,02	85	1500	0,180	0,050	IP20	35	MC 27** (*)
< 200	50	5,5	900	500	4 S 10	0,02	90	2320	0,110	0,066	IP42	58	M 26 D** (****)

DEMANDER LES FICHES TECHNIQUES INDIVIDUELLES

EASE ASK FOR TECHNICAL DATA SHEET

# Caractéristiques générales des servomoteurs AXEM

TBMA3

## Ratings and constants for AXEM D.C. servo motors

Type de servomoteur	Couple nominal	Couple impulsif maximum 1)	Vitesse nominale	Vitesse maximale	Puissance utile nominale	Courant nominal	Courant vitesse lente 2)	Courant impulsif maximum 1)	Tension nominale	Résistance aux bornes e)	Couple par ampère	F.E.M. par kg/mar	Constante de couple visqueux	Moment d'inertie du rotor	Ch. vte. à 1.000 r.p.m.	
Symbol	$C_n$	$C_{imp}$	$N_n$	$N_{max}$	$P_n$	$I_n$	$I_l$	$I_{imp}$	$U_n$	$R$	$K_T$	$K_E$	$K_d$	$J$		
Unité	N. cm	N. cm	r/min	r/min	W	A	A	A	V	ohm	N. cm/A	V/kg/mar	N. cm/Vr/min	g. cm²	r/min	
Motor Type	Rated torque	Maximum pulse torque	Rated speed	Maximum speed	Rated power output	Rated current	Maximum current at very low speed	Maximum pulse current	Nominal voltage	Terminal resistance at 25° C	Torque per ampere	E.M.F. per 1000 r.p.m.	Viscous damping constant	Rotor moment of inertia	Revolutions	
Symbol	$C_n$	$C_{imp}$	$N_n$	$N_{max}$	$P_n$	$I_n$	$I_l$	$I_{imp}$	$U_n$	$R$	$K_T$	$K_E$	$K_d$	$J$		
Unit	cm. N	cm. N	r.p.m.	r.p.m.	W	A	A	A	V	ohm	cm. N/A	V/kg/mar	cm. N/Vr.p.m.	g. cm²	r.p.m.	
9 M 4 R**	14	115	4800	9000	70	6,4	6,7	40	22	1,10	2,98	3,1	0,5	350	1	
9 M 2**	28,2	173	3000	8500	88	11	11	60	14	0,43	2,98	3,1	0,7	290	1	
9 M 4**	34,6	345	3000	8000	108	8,7	8,7	60	28	1,10	5,92	6,2	0,8	350	1	
9 M 4 H**	53,7	490	3000	8000	168	8,5	8,75	55	35	1,10	8,8	9,2	0,85	340	1	
9 M 2 HA**	30,9	264	3000	9000	97	8	7,9	60	20	0,85	4,4	4,6	0,6	100	1	
12 M 4 R**	42	290	4800	9000	210	8	8,3	50	37	0,93	5,90	6,2	0,7	1500	1	
12 M 2**	61	430	3000	8000	190	11,7	11,7	75	24	0,47	5,73	6,0	1,6	1050	1	
12 M 4**	77	860	3000	5000	240	7,7	8,2	75	43	0,93	11,48	12,0	2,7	1500	1	
12 ** 4 H**	110	1300	3000	5000	345	7,2	8,2	75	61	0,93	17,2	18,0	3,3	1600	1	
12 ** HA**	95	950	3000	5000	300	6	6,6	55	83	1,40	17,2	18,0	2,5	670	1	
AC 13 S	c)	127	850	3000	6000	400	8	6,5	50	65	1,5	18,7	17,5	1,5	2350	5
AD 15 HS	c)	190	900	3000	4000	600	8,25	8,00	36	88	1,25	24,8	28,00	2,7	4230	1
AD 17 CS	c)	270	1300	3000	4000	850	10	8,80	45	100	1,00	28,8	30	3,0	8150	1
AD 17 HS	c)	318	1500	3000	4000	1000	10	9,22	45	116	1,00	33,8	35,2	3,80	8150	0
AC 17 H **	c)	190	1400	3000	5000	600	7,3	7,14	49	105	1,8	28,8	30	4	7900	2
AC 17 B **	c)	120	1200	3200	3900	400	24	21	200	24	0,175	5,75	8	1,6	7900	4
AC 19 P**	c)	320	2440	3000	5000	1000	14,4	16,5	100	83	0,48	24,4	25,5	8	10000	0
AC 19 P**(*)	d)	510	2440	3000	5000	1600	22,2	22,3	100	87	0,48	24,4	25,5	8	10000	0
AC 19 S**	c)	320	2440	3000	5000	1000	7,2	8,5	50	184	1,6	48,8	51	8	10000	0
AC 19 S** (*)	d)	510	2440	3000	5000	1600	11,1	11,4	50	171	1,6	48,8	51	8	10000	0
AC 19 B**	c)	320	2440	3000	5500	1000	51,5	50	380	24	0,05	8,7	7	4	10000	1
AC 23 S**	c)	700	5000	3000	5000	2200	14,8	12	100	172	0,9	50,8	53	13	23000	0
AC 23 S** (*)	d)	1050	5000	3000	5000	3300	21,8	20	100	178	0,9	50,8	53	13	23000	0
AC 24 P**	c)	980	8400	3000	4000	3000	25	20	200	140	0,285	41,5	43,5	12,5	32000	0
AC 24 P**(*)	d)	1600	8400	3000	4000	5000	40	36	200	145	0,285	41,5	43,5	12,5	32000	0
AC 27**	c)	1432	11500	3000	4300	4500	32,8	37,5	250	150	0,18	48,1	48,3	20	74000	0
AC 27**(*)	d)	2290	11500	3000	4300	7200	52	50	250	154	0,18	48,1	48,3	20	74000	0
AC 28 D**(***)		2850	16240	3000	4000	9000	37,5	38	200	272	0,50	80,2	85	50	73000	0